エンドプレート接合部を有する仮設橋の主桁荷重分担メカニズム

に関する解析的研究

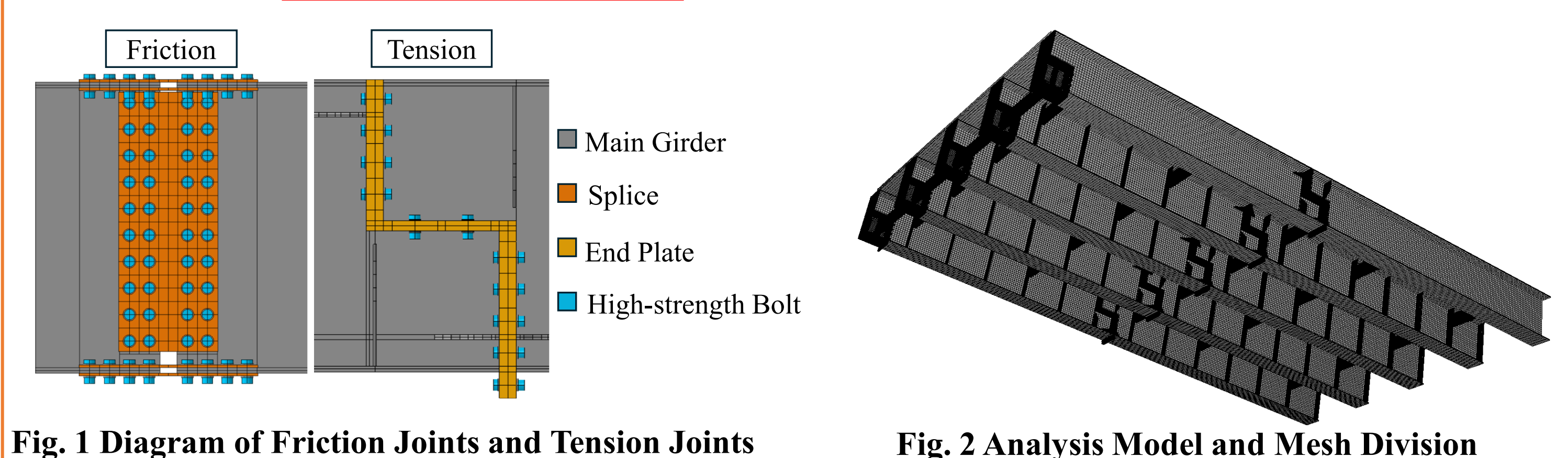
大阪公立大学大学院 工学研究科都市系専攻 橋梁工学研究室 李 若曦



仮設橋におけるエンドプレート接合部の構造詳細が荷重耐性および荷重再分配に与える影響の評価

BACKGROUND

- □ 近年,災害復旧や老朽化橋梁の更新工事に伴い,<u>エンドプレート接合部を有する仮設橋</u>(Fig.1)の 需要が高まっている
- □ この接合形式は構造が<u>簡易</u>である一方,*ボルトの降伏や破断が橋梁全体の荷重分担や耐荷性能に与* える影響は十分に解明されていない.
- □ 現場では過載荷や繰返し載荷、点検の遅れなどにより、ボルト損傷後も仮設橋が使用され続ける可 能性があり、<u>使用限界状態を超えた挙動</u>の把握と残存耐荷力の評価が重要である[1].



METHOD

- ➤ Fig.1,2,3により, <u>スパン長11,750mm</u>の仮設橋を対 象とし、<u>5本の主桁(間隔2,000mm)</u>と<u>6本の横桁</u> で構成された橋梁構造をモデル化した.
- 主桁は<u>M24・S10T高カボルト</u>を用いたL形切 欠き付き<u>エンドプレート接合部</u>で連結され, 床版は<u>鋼製覆工板</u>48枚で構成され,弾性体と してモデル化されている. <u>活荷重はクレーン</u> <u>荷重(1,350kN + 450kN,係数λ)</u>を想定し, 最も不利な載荷位置で載荷を再現した.
- 解析ケースはFig.4に示すように、オリジナルモデ ルの<u>降伏順に従って</u>ボルトを無視することで損傷 を再現し、Case-Fullを基準に2×2、2×4、2×6の 段階的な損傷ケースを設定した. 材料特性をTab.1 に示す.

11,750mm Fig. 3 Loads and Boundary Conditions

Fig. 4 Analysis Case and Yield Bolt Position

 2×4

 2×2

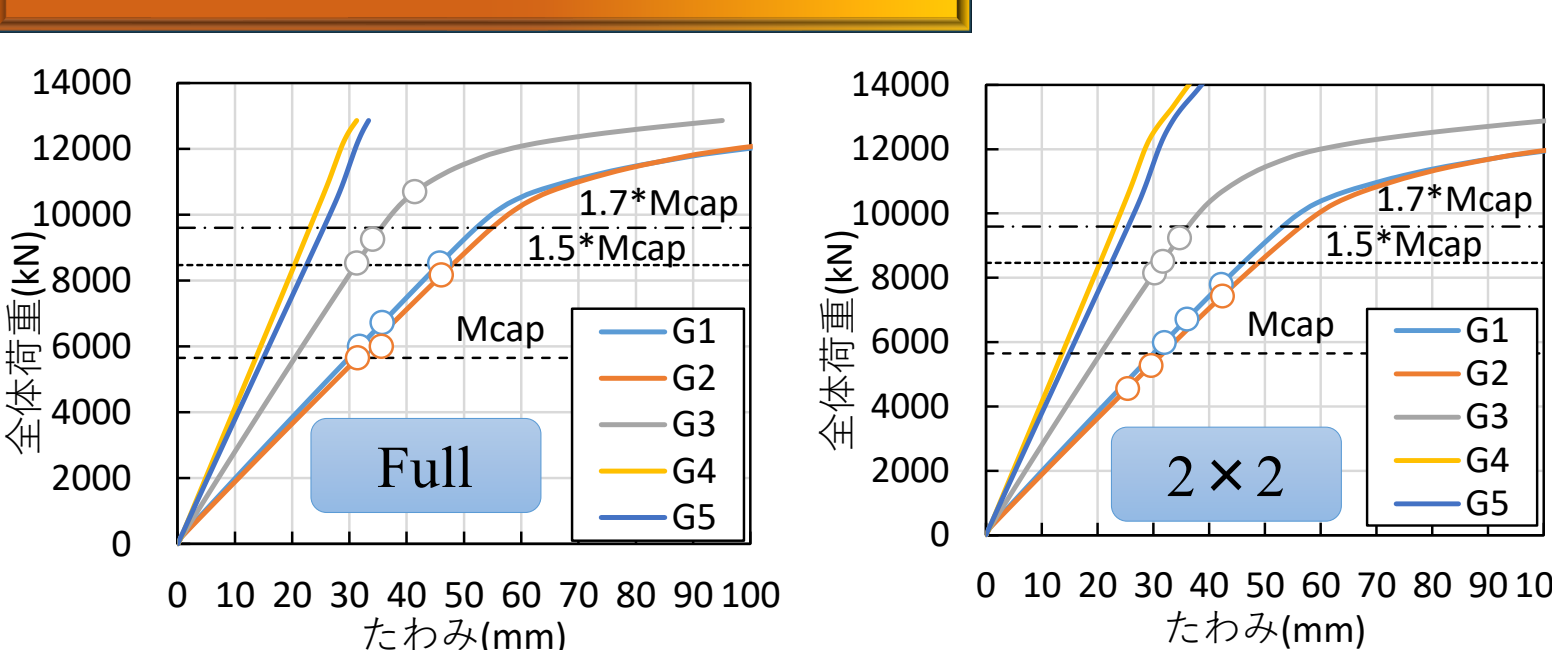
 $1350kN \times \lambda$

450kN×λ

Table.1 Material Properties

部材	要素	鋼材	ヤング率 ポアソン比	降伏点	メッシュ サイズ	構成則	
			$E(N/mm^2)$	ハノノンに	(N/mm^2)	(mm)	1 11 1% X ¹
エンドプレート	ソリッド	SS400			235	10	完全弾塑性
ボルトセット		S10T			973	3	降伏後のひずみ硬化を考慮
I-girder		SM490YA	200,000	0.3	365	50	完全弾塑性
床版		SM490			/	50	弾性
垂直補剛材	シェル	SS400			235	50	完全弾塑性

RESULTS



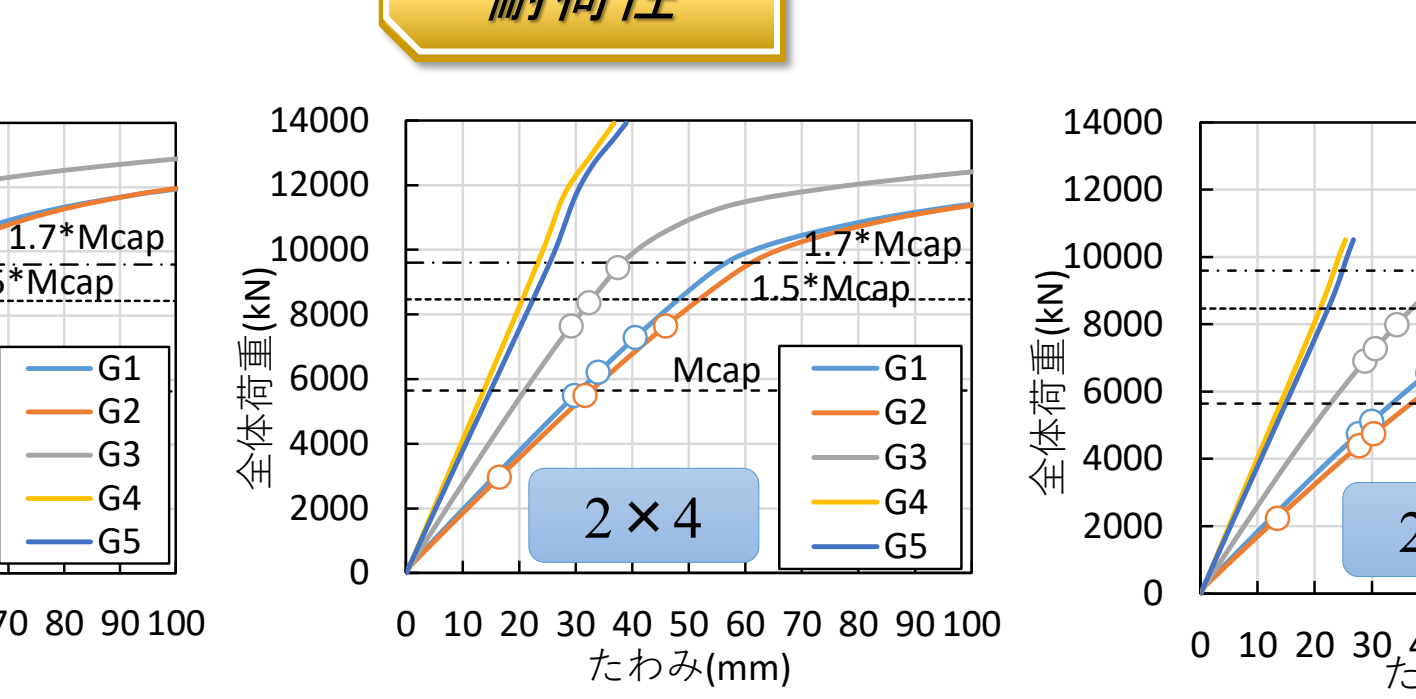
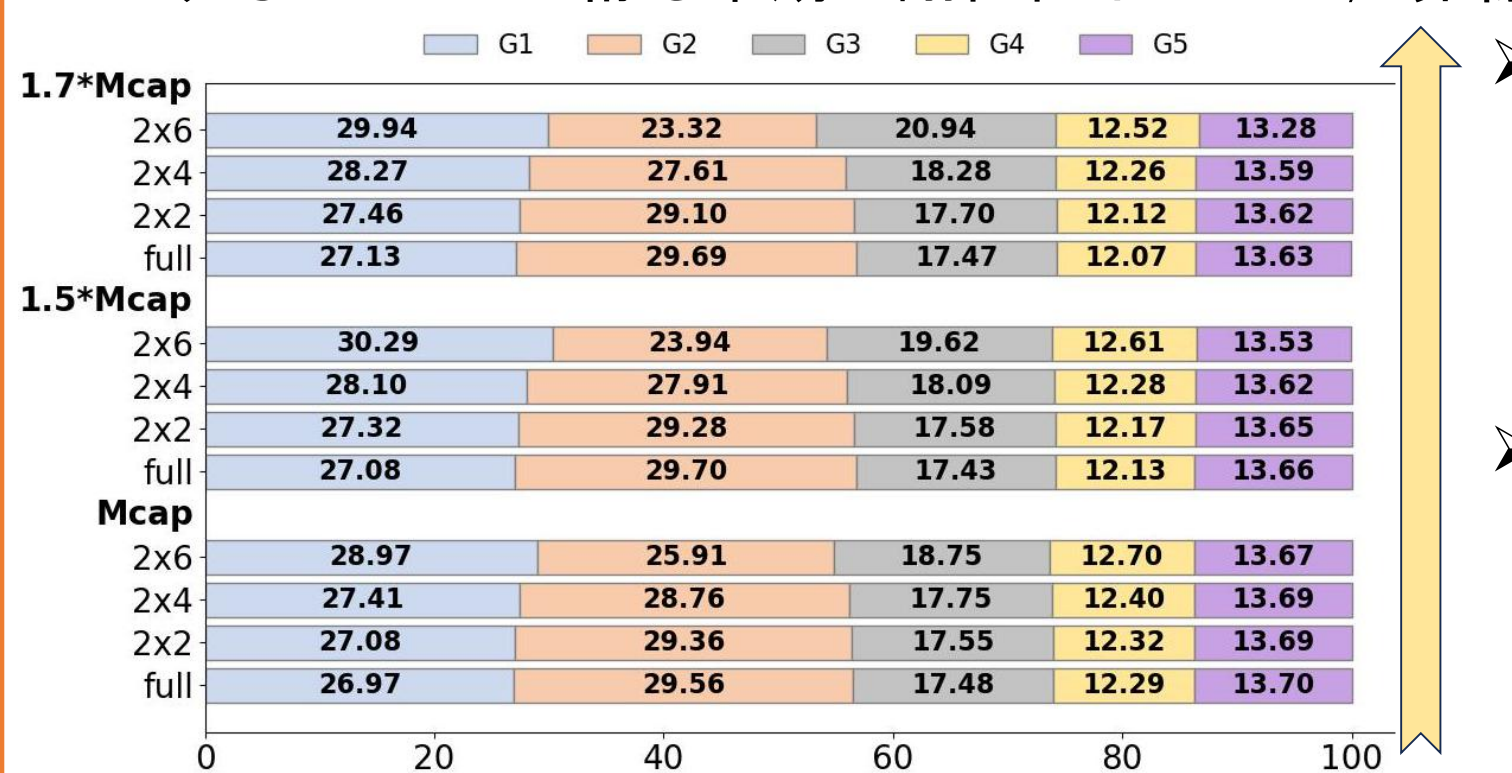


Fig. 5 Full Load - Deflection Relationship of Each Girder

Fig.5より、G2主桁のたわみ増加が最も顕著であり、最大たわみは約30mmに達した. この影響で、隣接 するG1とG3主桁も早期に剛性低下が生じ、非線形挙動へ移行した.



➤ Fig.5,6,7により、G2の荷重分担率はCase-Fullから最終 的に6.24%低下し(29.56%→23.32%), G1およびG3は それぞれ2.97%, 3.46%増加した. この変化は<u>局所損傷</u> <u>が隣接桁に吸収され、荷重が再分配された</u>結果であり 構造の一体性が維持されたことを示された.

これらの挙動は単なる桁ごとの応答ではなく、横桁の せん断剛性と床版の面内剛性が連携し、損傷は隣接部 材に分散された結果であるといえる.

$$RF = \frac{\phi_S \phi_C R - \gamma_D D}{\gamma_L L}$$
 Eq. 1

Fig. 6 Main Girder Load Sharing Ratio for Each Load

Load Sharing Ratio (%)

Fig. 7 Mises Stress Contour Plot at 1.7*M_{cap}



計算結果をTab.2に示す. > RFを用いた簡易評価は、健全時の構造状態係 数を1.0, フランジ付近全てのボルトの降伏状 態を0.85で仮定し、Case-2×6を除く全てのケ ースでRF≥1.0を満たした.

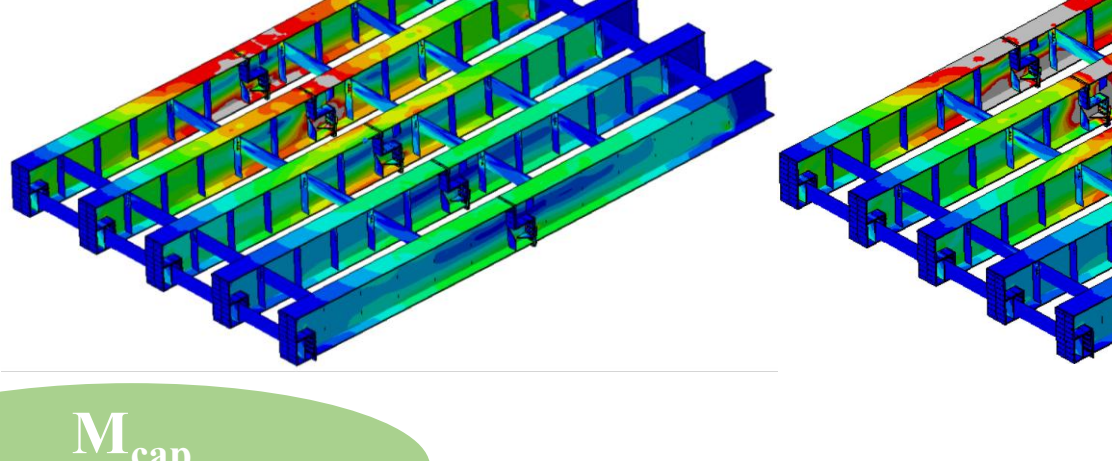


Table. 2 RF Calculation Result in Each Case

冗長性

Case	Condition Factor \$\phi\$c	Ultimate Strength R(kN)	RF Value	Evaluation
Full	1	5646	1.38	Safe
2×2	0.95	5275	1.22	Safe
2×4	0.9	5121	1.11	Nearly Safe
2×6	0.85	4756	0.96	Slightly Dangerous

SUMMARY

[1]日本鋼構造協会:119鋼橋の設計・評価技術の高度化,2020.10 [2] AASHTO: Manual for Bridge Evaluation (MBE) 2011

- ✔ 本研究では、ボルト損傷が進行しても、横桁と床版を通じた荷重再分配メカニズムが仮設橋の構造冗長性 を発揮し、局部損傷下でも耐荷性能が維持されることが確認された.
- ✓ RFを用いた簡易評価では、仮設橋の維持管理における有効な指標として活用できる可能性が示された. 特に、Case-2×6ではRFが1.0未満となり、ボルトの即時補修が必要であることが確認された.